

## АППАРАТУРА ДЛЯ ИССЛЕДОВАНИЙ И МЕТОДЫ ИЗМЕРЕНИЙ

УДК 551.510.534

С.Д. Ашкнадзе, А.А. Балин, С.В. Долгий, И.В. Кольцов<sup>†</sup> А.Н. Красовский,  
А.М. Людчик, Л.Ч. Неверович, Л.Н. Турышев, С.В. Шарапов

### УЛЬТРАФИОЛЕТОВЫЙ СПЕКТРОМЕТР-ОЗОНОМЕТР «ПИОН»: РЕЗУЛЬТАТЫ ЛАБОРАТОРНЫХ И НАТУРНЫХ ИСПЫТАНИЙ И ОПЫТ ПЕРВОЙ ЭКСПЛУАТАЦИИ

В сравнении с данными, полученными на озонометре Брюэра № 43, обсуждаются результаты первых испытаний нового ультрафиолетового солнечного спектрометра-озонометра «Пион». Предлагается новая методика измерений, базирующаяся на автоматической оптимизации спектрального диапазона с целью минимизации ошибок регистрации.

В [1] изложена общая концепция, лежащая в основе конструкции спектрометра-озонометра «Пион», разработанного в НИИ прикладных физических проблем им. К.Н. Севченко при Белорусском государственном университете им. В.И. Ленина. В 1989—1990 гг. была проведена серия лабораторных и натурных испытаний двух изготовленных образцов озонометров в городах Минске, Кисловодске и Долгопрудном. В последних двух городах имелась возможность сравнивать показания озонометров «Пион» с показаниями эталонных приборов: озонометром Брюэра № 43 на высокогорной научной станции Института физики атмосферы АН СССР (г. Кисловодск) и озонометрами Добсона № 107 и Брюэра № 45 Центральной аэрологической обсерватории Госкомгидромета (г. Долгопрудный). По результатам испытаний дорабатывались система регистрации и методика измерений. В данной публикации обсуждаются полученные в ходе испытаний результаты, обнаруженные недостатки в работе озонометров и пути их устранения.

В ходе лабораторных испытаний озонометров были получены следующие характеристики.

Характеристика	Прибор № 1	Прибор № 2
Спектральный диапазон, нм	294—316,4	295,5—316,7
Полуширина аппаратной функции, нм	≈ 0,44	≈ 0,55
Шаг сканирования, нм	≈ 0,022	≈ 0,021
Число шагов сканирования	1000	1000
Погрешность привязки по длинам волн, нм	< 0,01	< 0,01
Дисперсия (зависимость длины волны от номера канала)	близкая к линейной	

Спектральная чувствительность озонометров приблизительно линейно падает по мере увеличения длины волны, что объясняется применением «солнечно-слепого» ФЭУ-142.

Как видно из представленных данных, реальные характеристики несущественно отличаются от значений, планировавшихся при конструировании прибора [1]. Краткое описание конструкции и внешний вид спектрометра-озонометра «Пион» приведены в [1]. Следует обратить внимание на две существенные особенности конструкции озонометра, отличающие его от известных приборов Добсона и Брюэра. Во-первых, это значительно уменьшенный угол поля зрения объектива спектрометра ( $40' \times 40'$ ), что накладывает жесткие требования на работу системы наведения, однако позволяет осуществлять наблюдения при больших зенитных углах Солнца.

Другое важное отличие состоит в отсутствии ослабителей излучения, механически вводимых в световой пучок для регулирования уровня сигнала. Вместо этого применена оригинальная методика измерений, согласно которой рабочий участок длин волн озонометра перемещается по спектральному диапазону в зависимости от условий измерений с целью обеспечения оптимальных уровней сигналов. Система регистрации предусматривает автоматическое изменение времени интегрирования сигнала в зависимости от его уровня в пределах 0,5 мс—0,5 с. В результате реальный динамический диапазон озонометра превышает 4 порядка по уровню сигнала. Имеется также возможность дополнительного регулирования чувствительности прибора путем изменения напряжения на ФЭУ.. Однако с учетом длительности процессов установления рабочего режима фотоэлектронного блока такое регулирование допускается только в промежутках между сериями измерений.

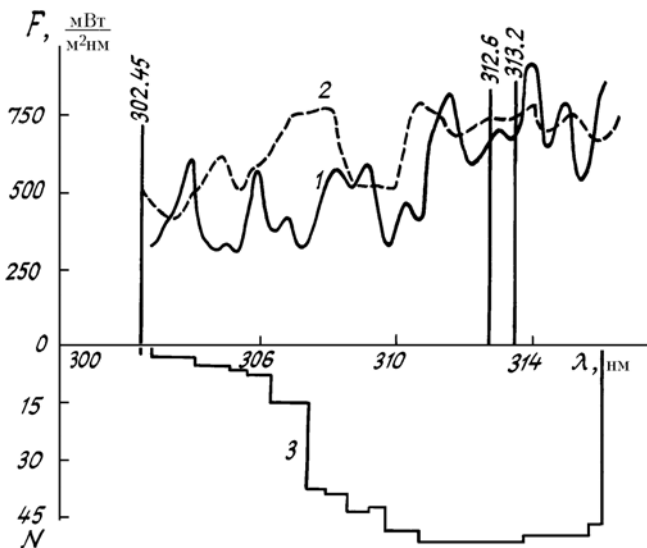


Рис. 1. Внештатомический солнечный спектр: 1 — получен после обработки результатов измерений ультрафиолетовым спектрометром-озонометром «Пион» № 1. Вертикальными линиями показано положение линий спектра ртути, использованных для привязки шкалы длин волн; 2 — данные работы [2]; 3 — число зарегистрированных спектров, использованных для построения кривой 1 на различных участках диапазона

В ходе первичных натурных испытаний в декабре 1989 г. (г. Кисловодск) осуществлялась настройка систем наведения, проверка работоспособности отдельных узлов, измерение солнечных УФ-спектров и отработка методики измерений. Как отмечалось, на станции ИФА АН СССР установлен и осуществляет постоянные наблюдения озонометр Брюэра № 43, показания которого были использованы для калибровки параметров расчетных методик.

В общей сложности было зарегистрировано около 200 солнечных спектров, из них — более 70 детальных, с минимальным шагом по спектру. Последние были использованы для расчета внеатмосферного солнечного спектра в области 303—316,4 нм (вследствие малой высоты Солнца над горизонтом в период испытаний более коротковолновая часть спектра не регистрировалась). Результаты вычислений в сравнении с известными из литературы [2] приведены на рис. 1. Там же указано положение линий спектра ртути, по которым осуществлялась привязка шкалы длин волн озонометров. В нижней части рисунка графически представлено количество зарегистрированных спектров, использованных для вычислений на каждой из длин волн.

В первую очередь обращает на себя внимание заметное смещение спектров по шкале длин волн в коротковолновой части диапазона. Если имеющееся расхождение в амплитудах можно отнести на счет специфики использованной вычислительной процедуры, то по поводу корректности привязки по длинам волн у авторов отсутствуют какие бы то ни было сомнения. Вообще говоря, подобные расхождения обнаруживаются и при сравнении между собой данных о внеатмосферном солнечном спектре, опубликованных различными авторами [2—4]. Поэтому следует признать, что вопрос о солнечном ультрафиолетовом внеатмосферном спектре до сих пор остается открытым.

Высокая стабильность работы оптико-механического блока позволила отказаться от осуществления привязки шкалы длин волн перед каждым измерением. В связи с этим упрощена конструкция прибора — удалена встроенная ртутная лампа. Периодический контроль точности привязки может проводиться с помощью внешнего источника, устанавливаемого на объектив спектрометра.

В ходе первых натурных испытаний для определения общего содержания озона (ОСО) в качестве основного использовался один из вариантов многоволновой методики [5—7], базирующийся на измерениях на 200 парах длин волн. Параллельно исследовалась методика (впоследствии ей было отдано предпочтение), многоволновый характер которой был направлен на расширение диапазона условий, в которых возможна работа прибора. Весь спектральный диапазон спектрометра разбит на перекрывающиеся рабочие участки, в пределах каждого из которых выбираются 10 пар длин волн для расчета ОСО. При высоком Солнце и относительно малом ОСО достаточный для измерений уровень сигнала получается в коротковолновой части диапазона, в то время как в области больших длин волн возникает опасность засветки фотоумножителя и регистрация не проводится. По мере ухудшения условий измерений оптимальные по уровню сигналы перемещаются в длинноволновую область спектрального диапазона прибора. Как правило, расчет значений ОСО удается осуществить в нескольких соседних рабочих участках (полное их число — 23). Для данного единичного измерения в качестве измеренного значения ОСО принимается среднее, определенное по всем участвовавшим в регистрации рабочим участкам с исключением двух наиболее удаленных от среднего значений, если среднеквадратичное отклонение превышает 1%.

Некоторых пояснений требует методика калибровки параметров формул для расчета ОСО. В рамках использованной гипотезы о неселективности аэрозольного ослабления выражение для ОСО по измерениям в отдельном рабочем участке имеет вид

$$X = \frac{1}{\mu\alpha} [R - L - m\beta p/p_0],$$

где  $\mu$ ,  $m$  — относительная озонная и воздушная массы;  $\alpha$  — параметр, связанный с поглощением излучения озоном;  $R$  — внеатмосферный параметр;  $\beta$  — параметр, ответственный за молекулярное рассеяние (расчитывается заранее для каждого рабочего участка по известным эмпирическим формулам);  $p/p_0$  — отношение давления в месте измерений к нормальному;  $L$  — сумма по параметрам длин волн логарифмов отношений зарегистрированных сигналов. Параметры  $\alpha$  и  $R$  определялись путем сравнительной калибровки с эталонным прибором. При этом ставилась также задача минимизировать расходжения в значениях ОСО, получаемых на различных рабочих участках. Несмотря на то, что найденные таким образом значения  $\alpha$  и  $R$  оказываются довольно близкими к результатам теоретических расчетов на основании экспериментальных данных о коэффициенте поглощения озона и внеатмосферном солнечном спектре, в дальнейших измерениях использовались параметры, определенные сравнительной калибровкой.

В качестве примера на рис. 2 представлены результаты измерений ОСО 14.12.89 в сравнении с показаниями озонометра Брюэра № 43. Важное преимущество озонометра «Пион» состоит в возможности проведения наблюдений при больших значениях воздушных масс, что обеспечивается малым углом поля зрения и высокой чувствительностью прибора.

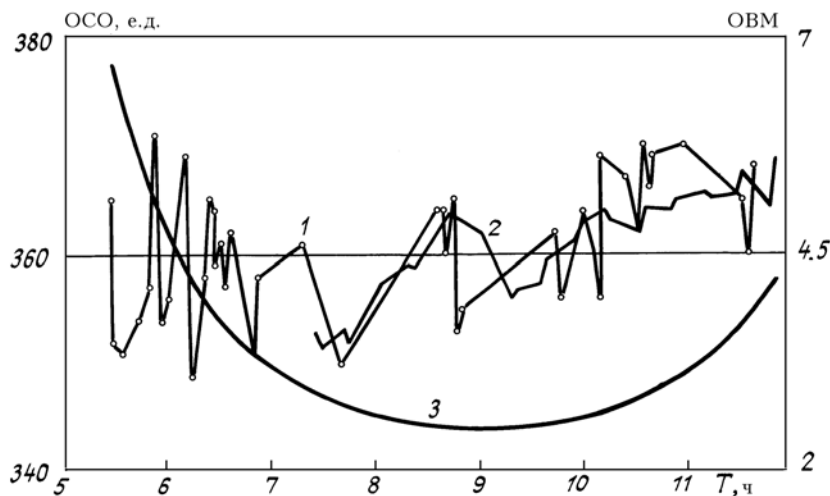


Рис. 2. Результаты измерения ОСО 14.12.89 в районе г. Кисловодска. 1 — «Пион» № 1; 2 — «Брюэр» № 43; 3 — относительная воздушная масса (ОВМ) в зависимости от времени измерений. По шкале абсцисс отложено время по Гринвичу

К недостаткам следует отнести худшую по сравнению с озонометром Брюэра воспроизводимость результатов при повторных измерениях. Частично этот недостаток удается компенсировать за счет перехода от однократных измерений к сериям измерений с последующим усреднением результатов (см. ниже).

В ходе натурных испытаний в 1990 г. проводилась калибровка второго озонометра и совершенствовалась методика измерений и реализующая ее программа. К последним испытаниям в г. Кисловодске в декабре 1990 г. эта работа была в основном закончена. В результате подготовлена программа, осуществляющая полуавтоматическую работу озонометра «Пион» в течение целого дня наблюдений. Полностью исключить необходимость контроля оператором работы прибора не удалось из-за отсутствия программного управления двигателями системы наведения. Поэтому при сбоях системы наведения, обусловленных появлением в ее поле зрения облаков, прибор переходит в состояние ожидания до вмешательства оператора для продолжения работы. По мере накопления результатов измерений автоматически осуществляется запись всей информации на магнитную дискету; по окончании работы прибора возможна распечатка протокола наблюдений.

На рис. 3 показаны результаты измерений непосредственно в г. Кисловодске 15.12.90. Приведенные данные представляют собой усредненные значения по серии 7 однократных измерений. Видно, что разброс в показаниях заметно уменьшается в результате применения такой процедуры. Расхождения в среднедневных значениях ОСО, полученных различными приборами, объясняются недостаточной длиной рядов наблюдений, использованных для калибровки параметров расчетных методик озонометров «Пион». Они будут устранены в ходе последующих калибровок. Разброс показаний

озонометров при повторных измерениях составляет около 1,5% и в основном связан с ошибками работы системы наведения.

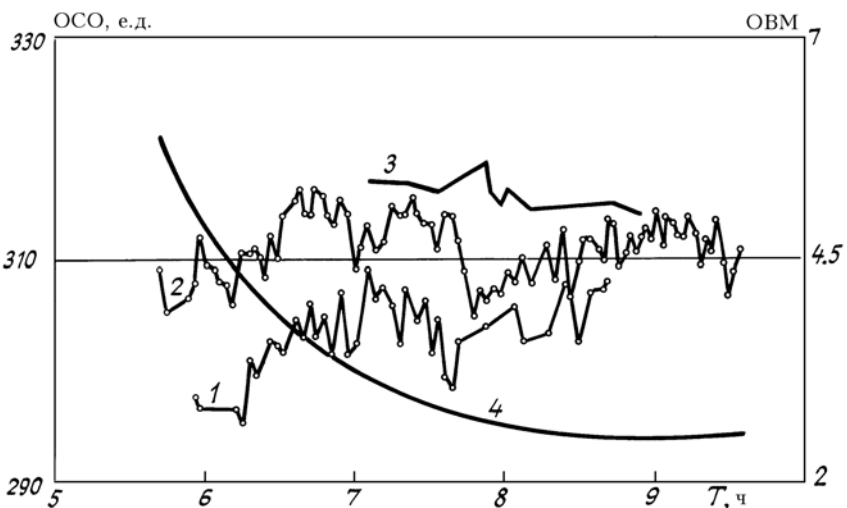


Рис. 3. Результаты измерения ОСО 15.12.90 в г. Кисловодске. 1 — «Пион» № 1; 2 — «Пион» № 2; 3 — «Брюэр» № 43 на станции ИФА АН СССР; 4 — относительная воздушная масса в зависимости от времени измерений

К сожалению, в рамках прежнего технического решения невозможно существенно повысить качество работы системы наведения. Очевидный путь ее совершенствования — реализация возможности программной обработки сигналов следящей головки и программного управления механизмами наведения. Такой подход заложен в изготавливаемый модифицированный вариант озонометра «Пион». Одновременно принимаются меры по повышению качества работы приемно-измерительного тракта. Ожидается, что в результате проведенных доработок удастся оценить уровень систематических погрешностей определения ОСО озонометрами типа «Пион» и, таким образом, окончательно судить о плодотворности предложенной в [1] общей концепции.

Авторы благодарны сотрудникам Высокогорной научной станции ИФА АН СССР за гостеприимство и помочь в проведении испытаний.

1. Красовский А. Н. Людчик А. М., Неверович Л. Ч. и др. //Оптика атмосферы. 1989. Т. 2. № 4. С. 422—427.
2. Thekaekara M. P. //App1. Optics. 1974. V. 13. № 3. P. 518—522.
3. Arvesen J. C., Griffin R. N., Jr., Pearson B. D., Jr. //Appl. Optics. 1969. V. 8. № 11. P. 2215—2232.
4. Broadfoot A. L. //Astrophys. J. 1972. V. 173. № 3. P. 681—690.
5. Кузнецов Г. И. //Изв. АН СССР. Сер. ФАО., 1975. Т. 11. № 6. С. 647—651.
6. Garrison L. M., Doda D. D., Green A. E. S. //Appl. Optics. 1979. V. 18. № 6. P. 850—855.
7. Людчик А. М., Жучкевич В. В., Красовский А. Н., Турышев Л. Н. //Изв. АН СССР. Сер. ФАО. 1989. Т. 25. № 1. С. 45—52.

НИИ прикладных физических проблем им. А.Н. Севченко, Минск  
Центральная аэрометеорологическая обсерватория, Долгопрудный

Поступила в редакцию  
24 июня 1991 г.

S. D. Ashkinadze, A. A. Balin, S. V. Dolgii, I. V. Kol'tsov, A. N. Krasovskii,  
A. M. Lyudchik, L. Ch. Neverovich, L. N. Turyshev, S. V. Sharapov. The UV-Spectrometer Ozonometer «PION» — Results of Laboratory and Field Tests.

Some results obtained during the first exploitation of a newly designed ultraviolet sun spectrometer-ozonometer «Pion» are discussed in comparison with the data-sets from Brewer № 43 ozonometer. A new method based on automatic optimization of the spectral region to minimize registration error is proposed.